

Starkniederschlagshöhen und -spenden gemäß KOSTRA-DWD-2020

Rasterfeld 171113

(Zeile 171, Spalte 113)

Regenspende und Bemessungsniederschlagswerte in Abhängigkeit von Wiederkehrzeit T und Dauerstufe D

| Dauerstufe D | | Wiederkehrzeit T | | | | | | | | | | | | | | | | | |
|--------------|-----|------------------|------------|------|------------|------|------------|------|------------|------|------------|-------|------------|-------|------------|-------|------------|-------|------------|
| | | 1 a | | 2 a | | 3 a | | 5 a | | 10 a | | 20 a | | 30 a | | 50 a | | 100 a | |
| min | Std | mm | l / (s ha) | mm | l / (s ha) | mm | l / (s ha) | mm | l / (s ha) | mm | l / (s ha) | mm | l / (s ha) | mm | l / (s ha) | mm | l / (s ha) | mm | l / (s ha) |
| 5 | | 8,0 | 266,7 | 9,8 | 326,7 | 10,9 | 363,3 | 12,4 | 413,3 | 14,6 | 486,7 | 16,8 | 560,0 | 18,2 | 606,7 | 20,1 | 670,0 | 22,9 | 763,3 |
| 10 | | 9,8 | 163,3 | 12,0 | 200,0 | 13,4 | 223,3 | 15,2 | 253,3 | 17,8 | 296,7 | 20,5 | 341,7 | 22,3 | 371,7 | 24,6 | 410,0 | 28,0 | 466,7 |
| 15 | | 10,9 | 121,1 | 13,4 | 148,9 | 14,9 | 165,6 | 16,9 | 187,8 | 19,9 | 221,1 | 22,9 | 254,4 | 24,8 | 275,6 | 27,4 | 304,4 | 31,1 | 345,6 |
| 20 | | 11,7 | 97,5 | 14,4 | 120,0 | 16,0 | 133,3 | 18,2 | 151,7 | 21,4 | 178,3 | 24,6 | 205,0 | 26,7 | 222,5 | 29,5 | 245,8 | 33,5 | 279,2 |
| 30 | | 12,9 | 71,7 | 15,9 | 88,3 | 17,7 | 98,3 | 20,1 | 111,7 | 23,6 | 131,1 | 27,2 | 151,1 | 29,5 | 163,9 | 32,6 | 181,1 | 37,0 | 205,6 |
| 45 | | 14,2 | 52,6 | 17,5 | 64,8 | 19,5 | 72,2 | 22,2 | 82,2 | 26,0 | 96,3 | 29,9 | 110,7 | 32,5 | 120,4 | 35,9 | 133,0 | 40,7 | 150,7 |
| 60 | 1 | 15,2 | 42,2 | 18,7 | 51,9 | 20,9 | 58,1 | 23,7 | 65,8 | 27,8 | 77,2 | 32,0 | 88,9 | 34,8 | 96,7 | 38,4 | 106,7 | 43,6 | 121,1 |
| 90 | 1,5 | 16,7 | 30,9 | 20,5 | 38,0 | 22,9 | 42,4 | 26,0 | 48,1 | 30,5 | 56,5 | 35,2 | 65,2 | 38,2 | 70,7 | 42,2 | 78,1 | 47,9 | 88,7 |
| 120 | 2 | 17,8 | 24,7 | 21,9 | 30,4 | 24,5 | 34,0 | 27,8 | 38,6 | 32,6 | 45,3 | 37,6 | 52,2 | 40,8 | 56,7 | 45,1 | 62,6 | 51,2 | 71,1 |
| 180 | 3 | 19,6 | 18,1 | 24,1 | 22,3 | 26,8 | 24,8 | 30,5 | 28,2 | 35,8 | 33,1 | 41,2 | 38,1 | 44,8 | 41,5 | 49,4 | 45,7 | 56,1 | 51,9 |
| 240 | 4 | 20,9 | 14,5 | 25,7 | 17,8 | 28,7 | 19,9 | 32,6 | 22,6 | 38,2 | 26,5 | 44,0 | 30,6 | 47,8 | 33,2 | 52,8 | 36,7 | 59,9 | 41,6 |
| 360 | 6 | 22,9 | 10,6 | 28,2 | 13,1 | 31,4 | 14,5 | 35,7 | 16,5 | 41,9 | 19,4 | 48,2 | 22,3 | 52,4 | 24,3 | 57,9 | 26,8 | 65,7 | 30,4 |
| 540 | 9 | 25,1 | 7,7 | 30,9 | 9,5 | 34,4 | 10,6 | 39,1 | 12,1 | 45,9 | 14,2 | 52,9 | 16,3 | 57,4 | 17,7 | 63,4 | 19,6 | 72,0 | 22,2 |
| 720 | 12 | 26,8 | 6,2 | 32,9 | 7,6 | 36,7 | 8,5 | 41,8 | 9,7 | 49,0 | 11,3 | 56,4 | 13,1 | 61,3 | 14,2 | 67,7 | 15,7 | 76,8 | 17,8 |
| 1080 | 18 | 29,3 | 4,5 | 36,1 | 5,6 | 40,3 | 6,2 | 45,8 | 7,1 | 53,7 | 8,3 | 61,8 | 9,5 | 67,1 | 10,4 | 74,1 | 11,4 | 84,2 | 13,0 |
| 1440 | 24 | 31,3 | 3,6 | 38,5 | 4,5 | 43,0 | 5,0 | 48,8 | 5,6 | 57,2 | 6,6 | 65,9 | 7,6 | 71,6 | 8,3 | 79,1 | 9,2 | 89,8 | 10,4 |
| 2880 | 48 | 36,6 | 2,1 | 45,0 | 2,6 | 50,2 | 2,9 | 57,1 | 3,3 | 66,9 | 3,9 | 77,1 | 4,5 | 83,7 | 4,8 | 92,5 | 5,4 | 105,0 | 6,1 |
| 4320 | 72 | 40,1 | 1,5 | 49,3 | 1,9 | 55,0 | 2,1 | 62,5 | 2,4 | 73,3 | 2,8 | 84,4 | 3,3 | 91,7 | 3,5 | 101,3 | 3,9 | 115,0 | 4,4 |
| 5760 | 96 | 42,8 | 1,2 | 52,6 | 1,5 | 58,7 | 1,7 | 66,7 | 1,9 | 78,2 | 2,3 | 90,1 | 2,6 | 97,9 | 2,8 | 108,1 | 3,1 | 122,7 | 3,6 |
| 7200 | 120 | 45,0 | 1,0 | 55,3 | 1,3 | 61,7 | 1,4 | 70,1 | 1,6 | 82,2 | 1,9 | 94,7 | 2,2 | 102,9 | 2,4 | 113,6 | 2,6 | 129,0 | 3,0 |
| 8640 | 144 | 46,9 | 0,9 | 57,6 | 1,1 | 64,3 | 1,2 | 73,1 | 1,4 | 85,7 | 1,7 | 98,7 | 1,9 | 107,2 | 2,1 | 118,4 | 2,3 | 134,4 | 2,6 |
| 10080 | 168 | 48,5 | 0,8 | 59,7 | 1,0 | 66,6 | 1,1 | 75,6 | 1,3 | 88,7 | 1,5 | 102,2 | 1,7 | 111,0 | 1,8 | 122,6 | 2,0 | 139,1 | 2,3 |

Starkniederschlagshöhen und -spenden gemäß KOSTRA-DWD-2020

Rasterfeld 171113

(Zeile 171, Spalte 113)

Örtliche Unsicherheiten in Abhängigkeit von Wiederkehrzeit T und Dauerstufe D

| Dauerstufe D | | Wiederkehrzeit T | | | | | | | | |
|--------------|-----|------------------|-----|-----|-----|------|------|------|------|-------|
| | | 1 a | 2 a | 3 a | 5 a | 10 a | 20 a | 30 a | 50 a | 100 a |
| min | Std | ± % | ± % | ± % | ± % | ± % | ± % | ± % | ± % | ± % |
| 5 | | 12 | 13 | 13 | 14 | 15 | 15 | 16 | 16 | 17 |
| 10 | | 14 | 16 | 17 | 18 | 19 | 19 | 20 | 20 | 21 |
| 15 | | 16 | 18 | 19 | 20 | 21 | 21 | 22 | 22 | 23 |
| 20 | | 17 | 19 | 20 | 21 | 22 | 23 | 23 | 24 | 24 |
| 30 | | 18 | 20 | 20 | 21 | 23 | 24 | 24 | 25 | 25 |
| 45 | | 18 | 20 | 21 | 22 | 23 | 24 | 24 | 25 | 25 |
| 60 | 1 | 18 | 20 | 21 | 22 | 23 | 24 | 24 | 25 | 25 |
| 90 | 1,5 | 17 | 19 | 20 | 21 | 22 | 23 | 24 | 24 | 25 |
| 120 | 2 | 17 | 19 | 20 | 21 | 22 | 23 | 23 | 24 | 24 |
| 180 | 3 | 16 | 18 | 19 | 20 | 21 | 22 | 22 | 23 | 23 |
| 240 | 4 | 15 | 17 | 18 | 19 | 20 | 21 | 21 | 22 | 23 |
| 360 | 6 | 14 | 16 | 17 | 18 | 19 | 20 | 20 | 21 | 22 |
| 540 | 9 | 13 | 15 | 16 | 17 | 18 | 19 | 19 | 20 | 21 |
| 720 | 12 | 13 | 15 | 15 | 16 | 17 | 18 | 19 | 19 | 20 |
| 1080 | 18 | 12 | 14 | 15 | 16 | 17 | 17 | 18 | 18 | 19 |
| 1440 | 24 | 12 | 13 | 14 | 15 | 16 | 17 | 17 | 18 | 18 |
| 2880 | 48 | 12 | 13 | 13 | 14 | 15 | 16 | 16 | 16 | 17 |
| 4320 | 72 | 12 | 13 | 13 | 14 | 15 | 15 | 16 | 16 | 16 |
| 5760 | 96 | 12 | 13 | 13 | 14 | 14 | 15 | 15 | 16 | 16 |
| 7200 | 120 | 13 | 13 | 13 | 14 | 14 | 15 | 15 | 16 | 16 |
| 8640 | 144 | 13 | 13 | 14 | 14 | 15 | 15 | 15 | 16 | 16 |
| 10080 | 168 | 13 | 13 | 14 | 14 | 15 | 15 | 15 | 16 | 16 |

Parameter für abweichende T und D

Lokationsparameter ξ (Xi)

15,33704183

Skalenparameter α (Alpha)

4,89881385

Formparameter κ (Kappa)

-0,1

1. Koutsoyiannis-Parameter θ (Theta)

0,01079489

2. Koutsoyiannis-Parameter η (Eta)

0,77510133

Parameter für dauerstufenübergreifende Extremwertschätzung nach KOUTSOYIANNIS et al. 1998.

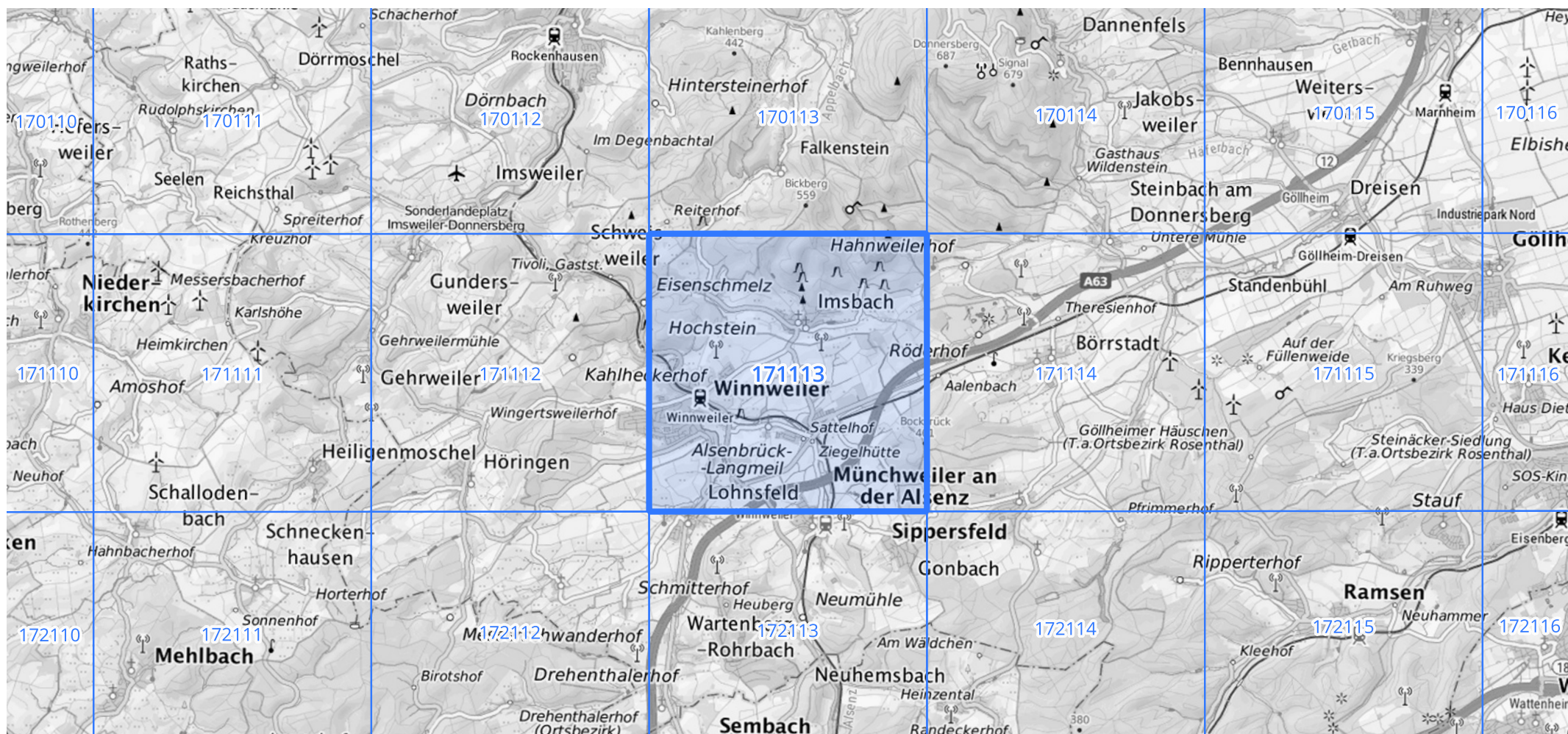
Siehe auch Anwendungshilfe zu KOSTRA-DWD-2020 des Deutschen Wetterdienstes.

Starkniederschlagshöhen und -spenden gemäß KOSTRA-DWD-2020

Rasterfeld 171113

(Zeile 171, Spalte 113)

Übersichtskarte des Rasterfeldes 171113, M 1 : 100 000



Quelle Rasterdaten: KOSTRA-DWD-2020 des Deutschen Wetterdienstes, Stand 12/2022.

Seite 3 von 3

Kartendarstellung: © Bundesamt für Kartographie und Geodäsie (2023), Datenquellen: https://sgx.geodatenzentrum.de/web_public/gdz/datenquellen/Datenquellen_TopPlusOpen.html

Für die Richtigkeit und Aktualität der Angaben wird keine Gewähr übernommen. Erstellt 01/2023.